

# 1 ПО для моделирования нанесения покрытия

## 1.1 Краткое резюме

Описанное ниже программное обеспечение является учебным и позволяет смоделировать нанесение покрытия на внутреннюю часть тонкой цилиндрической трубки, расположенной под наклоном методом Монте-Карло.

Программа генерирует случайные числа (в данном случае случайным числом является синус угла распыления).

Для записи результатов применяется словарь (число-структура). Ключ словаря – нижнее значение интервала разбиения длины трубки. Например, если молекула попала на отрезок  $[10, 20]$ , то ключём будет 10.

Значением является структура *values* (см. листинг 1). Структура содержит в себе поле значения количества попавших в интервал молекул, а также координаты каждой из молекул по стороне  $L$ .

```
1 struct value
2 {
3     int i;
4     vector<double> vec;
5 };
6 map<int, value> right_values;
7 map<int, value> left_values;
```

Листинг 1. Запись значений

Программа совершает большое количество итераций по описанному далее методу и выводит результаты в файл (см. листинг 7). В файле содержится количество попавших в каждый интервал на каждой стороне молекул.

## 1.2 Расчёт геометрии

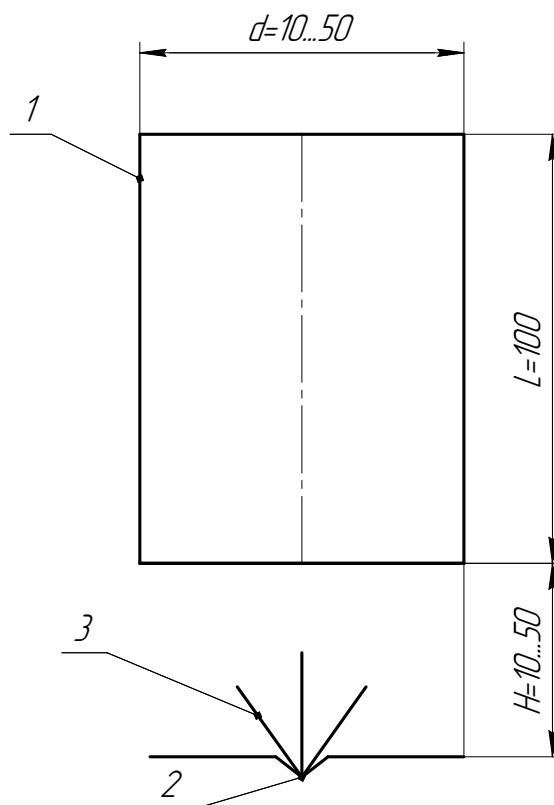


Рис. 1. Эскиз расчёта

### 1.2.1 Эскиз

На рис. 1 изображён эскиз будущего расчёта.

1. Трубка, на внутреннюю поверхность которой наносятся частицы;
2. Точечный источник, из которого вылетают частицы;
3. Частицы.

### 1.2.2 Граничные условия

Молекулы будут попадать на внутреннюю поверхность в том случае, если (см. рис. 2):

— **слева:** угол распыления

$$\psi_{\text{расп}} \in [\mu_{\text{пр}}, \psi_{\text{пр}}] \quad (1)$$

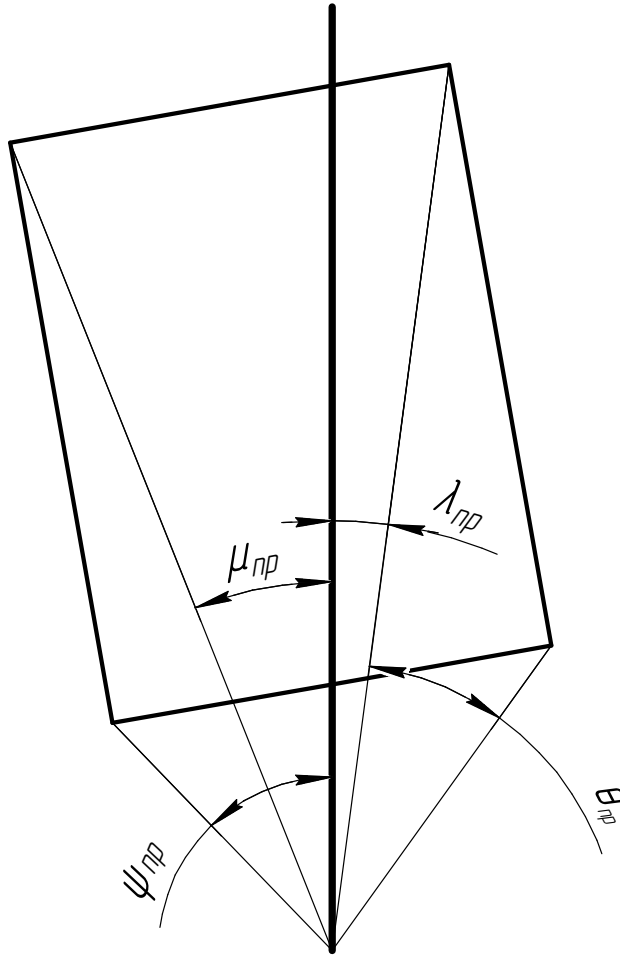


Рис. 2. Граничные условия

— **справа:** угол распыления

$$\psi_{\text{расп}} \in [\lambda_{\text{пр}}, \theta_{\text{пр}}] \quad (2)$$

### 1.2.2.1 Нижние граничные условия

Рассмотрим нижнюю часть трубки для нахождения углов  $\mu_{\text{пр}}$  и  $\lambda_{\text{пр}}$  (см. рис. 3). В треугольнике  $ACB$ :

$$\psi_{\text{пр}} = \arctg \left( \frac{AM}{BM} \right) = \arctg \left( \frac{\frac{d \cos \varphi}{2}}{H - \frac{d}{2} \sin \varphi} \right) = \arctg \left( \frac{d}{(2 (H - \frac{d}{2} \sin \varphi))} \right) \quad (3)$$

Похожим образом найдём правое граничное условие из треугольника  $BNE$ :

$$\theta_{\text{пр}} = \arctg \left( \frac{NE}{BN} \right) = \arctg \left( \frac{\frac{d \cos \varphi}{2}}{H + \frac{d}{2} \sin \varphi} \right) = \arctg \left( \frac{d}{(2 (H + \frac{d}{2} \sin \varphi))} \right) \quad (4)$$



4. По теореме косинусов треугольника  $AHB$  находим искомый угол:

$$\begin{aligned} b^2 &= a^2 + H^2 = 2aH \cos(\mu_{\text{пр}}) \\ \mu_{\text{пр}} &= \arccos\left(\frac{a^2 + H^2 - b^2}{2aH}\right) \end{aligned} \quad (8)$$

Правое граничное условие может быть найдено по аналогии (см. рис. 46):

$$\begin{aligned} b^2 &= a^2 + H^2 = 2aH \cos(\lambda_{\text{пр}}) \\ \lambda_{\text{пр}} &= \arccos\left(\frac{a^2 + H^2 - b^2}{2aH}\right) \end{aligned} \quad (9)$$

### 1.2.2.3 Нахождение интервала попадания

Как уже было сказано в 1.1. Краткое резюме, программа вычисляет координату попадания молекулы на сторону. На рис. 5 изображены расчётные схемы для координат молекул.

1. В треугольнике  $BCD$  (рис. 5а) известны стороны  $AB$  (можно найти из рис. 3),  $BD = \frac{d}{2}$  и граничный угол  $\psi_{\text{пр}}$  (см. уравнение (3)). Находим углы  $\varepsilon$  и  $\angle CAB$ :

$$\varepsilon = \arcsin\left(\frac{2k \sin \psi_{\text{пр}}}{d}\right) \quad (10)$$

$$\angle CAB = 180^\circ - \psi_{\text{пр}} - \varepsilon$$

2. В треугольнике  $DAB$  (см. рис. 5б) находим углы  $\angle ADB$  и  $\angle ABD$ :

$$\angle ABD = \psi_{\text{пр}} - \psi_{\text{расп}}$$

$$\angle DAB = 90^\circ + \angle CAB = 90^\circ + 180^\circ - \psi_{\text{пр}} - \varepsilon = 270^\circ - \psi_{\text{пр}} - \varepsilon \quad (11)$$

$$\angle ADB = 180^\circ - \angle DAB - \angle ABD =$$

$$= 180^\circ - 270^\circ + \psi_{\text{пр}} + \varepsilon - \psi_{\text{пр}} + \psi_{\text{расп}} = \varepsilon + \psi_{\text{расп}} - 90^\circ$$

3. По теореме синусов треугольника  $ADB$  находим искомую сторону (координату распыления):

$$AD = \frac{AB \sin(\angle ABD)}{\sin(\angle ADB)} \quad (12)$$

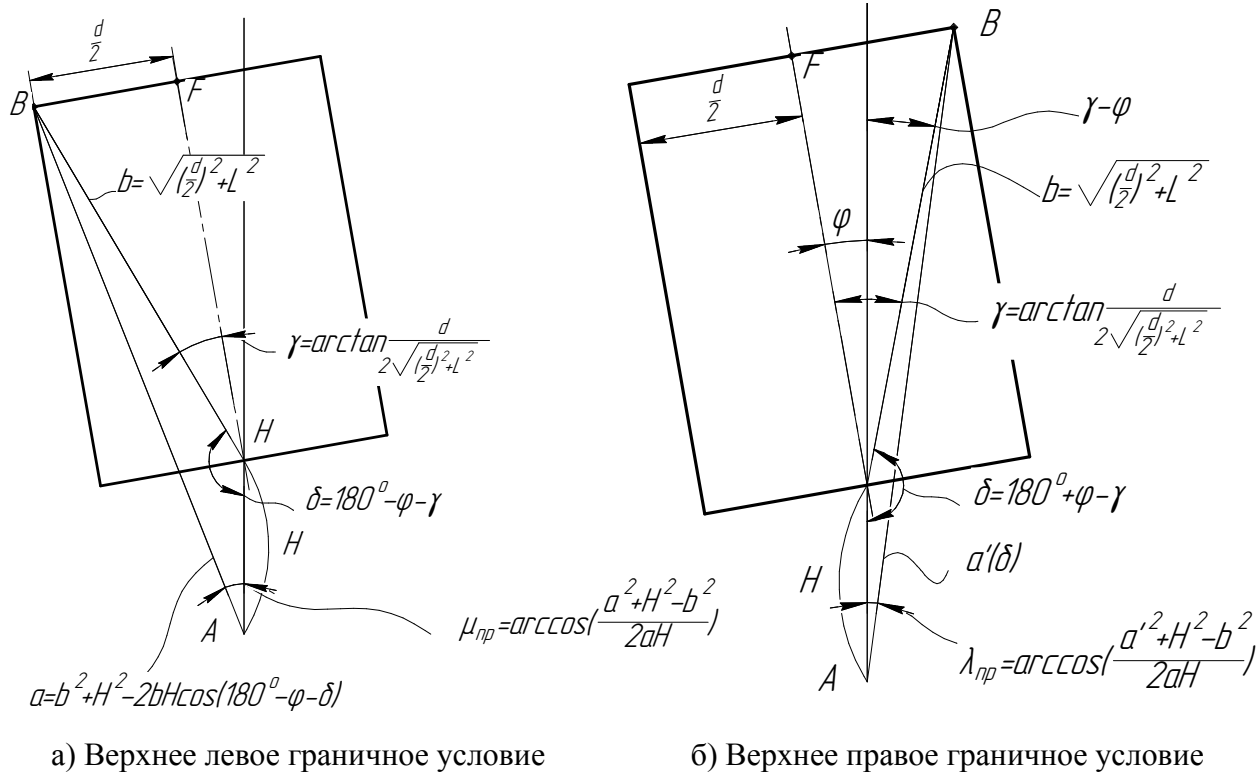


Рис. 4. Верхние граничные условия

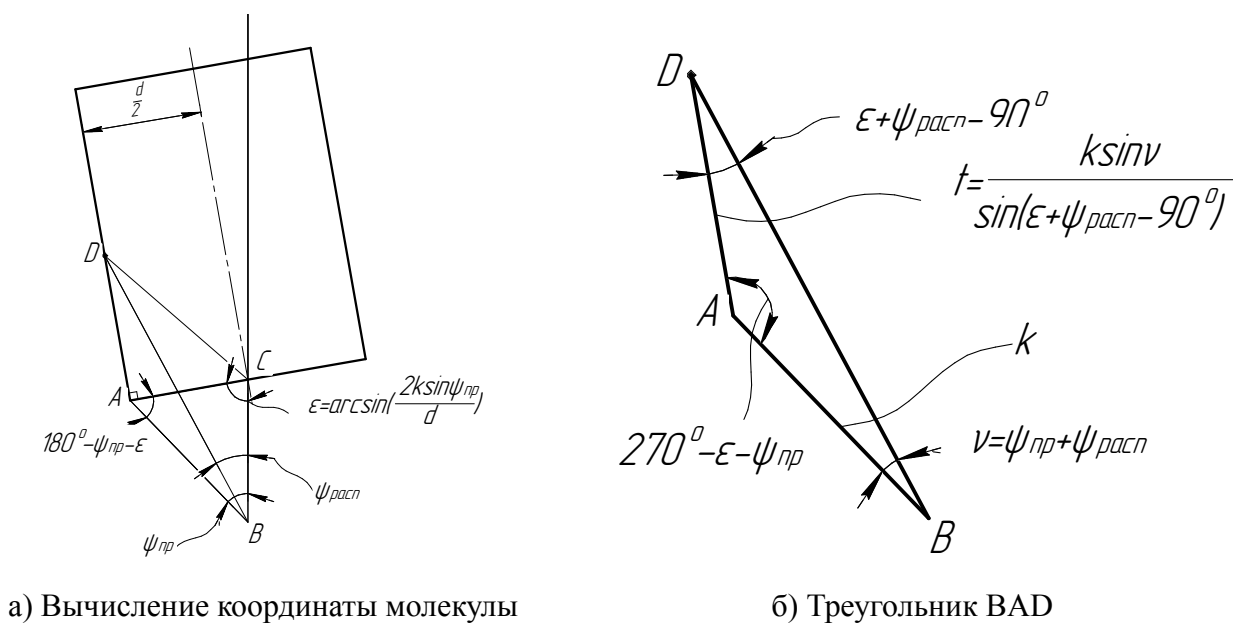


Рис. 5. Расчётная схема вычисления координаты молекулы

## 1.3 Принцип работы программы

### 1.3.1 Преобразование Бокса-Мюллера

**Преобразование Бокса-Мюллера** – метод моделирования стандартных нормально распределённых случайных величин:

1. Выбираются 2 независимые случайные величины, равномерно распределённые на отрезке  $[-1, 1]$ :

$$x \in [-1, 1], \quad y \in [-1, 1] \quad (13)$$

2. Вычисляем  $s$ :

$$s = x^2 + y^2 \quad (14)$$

3. Если

$$0 < s \leq 1 \quad (15)$$

то вычисляем  $z_0$  и  $z_1$ :

$$\begin{aligned} z_0 &= x \sqrt{\frac{-2 \ln s}{s}} \\ z_1 &= y \sqrt{\frac{-2 \ln s}{s}} \end{aligned} \quad (16)$$

в противном случае повторяем пункт 1 и уравнение (13).

В листинге 2 приведена реализация алгоритма Бокса - Мюллера на языке C++.

```
1  double box_muller ()
2  {
3      double s;
4      static quint64 i = 0;
5      double x;
6      double y;
7      double q;
8      double w;
```

```

9      do
10     {
11         x = randomnum() ;
12         y = -randomnum() ;
13         s = x * x + y * y;
14         q = x * qSqrt((-2 * qLn(s))/s);
15         w = y * qSqrt((-2 * qLn(s))/s);
16     }
17     while (s>1 || s==0 || qAbs(q)>1 || qAbs(w) > 1 || qAbs(q)>1);
18     i++;
19     if (i % 2 == 0)
20     return w;
21     else
22     return q;
23 }

```

Листинг 2. Реализация алгоритма Бокса-Мюллера

### 1.3.2 Генерация случайных чисел в библиотеке Qt

Qt предоставляет класс *QRandomGenerator* для генерации случайных чисел. Функция *randomnum()* из листинга 2 реализуется как раз при помощи этого класса. Реализация функции приведена в листинге 3.

```

1 double randomnum()
2 {
3     QRandomGenerator generator;
4     return generator.global()->generateDouble();
5 }

```

Листинг 3. Генерация случайных чисел

### 1.3.3 Реализация программы на языке C++

Первым делом задаются начальные значения. Было принято, что расстояние от источника до центра основания  $H$ , угол наклона оси трубки  $\varphi$  и её диа-



метр  $d$  лежат в следующих интервалах:

$$\begin{aligned} H &\in [10, 50] \text{ мм} \\ \varphi &\in [0, 10]^\circ \\ d &\in [10, 50] \text{ мм} \end{aligned} \tag{17}$$

```

1  double H = 30;
2  double L = 100;
3  double fi_pi = 5; // tut
4  double fi = fi_pi * M_PI / 180;
5  double d = 40; // tut
6  double r = 145e-12;

```

Листинг 4. Исходные значения

Затем вычисляются величины по формулам, указанным в **1.2. Расчёт геометрии**.

```

1  double left_down_angle = qAtan(d*qCos(fi)/(2*(H-d/2*qSin(fi)))));
2  double right_down_angle = qAtan(d*qCos(fi)/(2*(H+d/2*qSin(fi)))));
3  double left_down_dlina = d*qCos(fi)/(2*(qSin(left_down_angle)));
4  double right_down_dlina = d*qCos(fi)/(2*(qSin(right_down_angle)));
5  double left_up_dlina = sqrt(pow(d/2,2)+pow(L,2)+pow(H,2)-2*sqrt(pow(d,2)/4+pow(L,2))*H*qCos(M_PI-fi-qAtan(d/(2*L))));
6  double left_up_angle = qAcos(-(pow(d,2)/4+pow(L,2)-pow(left_up_dlina,2)-pow(H,2))/(2*H*left_up_dlina));
7  double right_up_dlina = sqrt(pow(d/2,2)+pow(L,2)+pow(H,2)-2*sqrt(pow(d,2)/4+pow(L,2))*H*qCos(M_PI+fi-qAtan(d/(2*L))));
8  double right_up_angle = qAcos(-(pow(d,2)/4+pow(L,2)-pow(right_up_dlina,2)-pow(H,2))/(2*H*double left_down_dlina = d*qCos(fi)/(2*(qSin(left_down_angle)));

```

```

9  double right_down_dlina = d*qCos( fi )/(2*(qSin(right_down_angle
    )));
10  qDebug() << right_down_dlina << "right_down_dlina";
11  double left_up_dlina = sqrt(pow(d/2,2)+pow(L,2)+pow(H,2)-2*
    sqrt(pow(d,2)/4+pow(L,2))*H*qCos( M_PI-fi-qAtan( d/(2*L) ) ) );
12  double left_up_angle = qAcos(-(pow(d,2)/4+pow(L,2)-pow(
    left_up_dlina ,2)-pow(H,2))/(2*H*left_up_dlina));
13  double right_up_dlina = sqrt(pow(d/2,2)+pow(L,2)+pow(H,2)-2*
    sqrt(pow(d,2)/4+pow(L,2))*H*qCos( M_PI+fi-qAtan( d/(2*L) ) ) );
14  double right_up_angle = qAcos(-(pow(d,2)/4+pow(L,2)-pow(
    right_up_dlina ,2)-pow(H,2))/(2*H*right_up_dlina));_up_dlina
    ));
15  double eps_left = qAsin(left_down_dlina*2*qSin(left_down_angle
    )/d);
16  double eps_right = M_PI-eps_left;

```

Листинг 5. Вычисление граничных условий

Далее начинается цикл из десяти миллионов итераций (листинг 6). Именно здесь реализуются алгоритмы, описанные выше.

```

1  for (int j = 0; j < 10000000; ++j)
2  {
3      double buff = box_muller();
4      if (j%1000000 == 0)
5          qDebug() << j/1000000 <<"/10";
6      if (qAsin(buff)>-right_down_angle && qAsin(buff)<
          -right_up_angle)
7      {
8          double rh = dlina(right_down_angle ,right_down_dlina ,
          eps_right ,qAsin(qAbs( buff) ) );
9          right_values[ address( rh) ].i++;
10         right_values[ address( rh) ].vec.push_back( rh );
11     }
12     else if (qAsin(buff)<left_down_angle && qAsin(buff)>
        left_up_angle)

```

```

13     {
14         double lh = dlina(left_down_angle , left_down_dlina , eps_left
            , qAsin(buff));
15         left_values[address(lh)].i++;
16         left_values[address(lh)].vec.push_back(lh);
17     }
18 }

```

Листинг 6. Тело программы

После исполнения программы данные из массивов записываются в файл (см. листинг 7):

```

1  QFile left_file(filename);
2  QTextStream left_data(&left_file);
3  for (const auto& amount:left_values) {
4      left_data << amount.second.i*2*r*pow(10,6)/10 << "\n";
5  }
6  left_data << "sep" << "\n" << "\n";
7  for (const auto& amount:right_values) {
8      left_data << amount.second.i*2*r*pow(10,6)/10 << "\n";
9  }
10 left_file.close();

```

Листинг 7. Запись данных в файл